

熱劣化된 폴리에틸렌 케이블의 衝擊電壓에 의한 破壞特性에 關한 研究(I)

논 문

24~1~4

A Study on the Impulse Voltage Breakdown Characteristics of Heat-Deteriorated Polyethylene Cables (I)

郭 永 淳*

(Young Soon Kwak)

Abstract

This study investigated the characteristics of fatigue breakdown caused by the impulse voltage of heat treated polyethylene cables through fault currents. This study attempted to obtain the basic data on the insulation design for the impulse voltage of the polyethylene Cable in the power distribution system.

This study has examined the V-n characteristics gained by the repeated load of impulse voltage wave zone ($1 \times 40\mu s$) on heat treated polyethylene cables. Besides this study also analysed the data involving their durability by means of the Weibull distribution.

An analysis of the breakdown characteristics based upon the repeated load of impulse voltage has revealed that worn out deteriorative breakdown existed at a high voltage near the initial breakdown voltage, and that random breakdown was discovered at a voltage somewhat lower than the initial breakdown voltage. These phenomena were more remarkable especially in the case of the higher temperature treated cables.

1. 緒 言

配電系統에 있어서는 雷擊 或은 開閉서어지 等의 衝擊電壓의 反復 印加가 많으므로 高電壓 폴리에틸렌 케이블의 布設後 配電系統의 常規 運轉 및 短絡, 過負荷 等의 非常規 運轉 狀態에 對한 經年劣化 及異常電壓의 侵入에 依한 케이블의 劣化機構에 對하여 嚴密히 檢討 研究됨이 送配電系統의 絶緣設計 및 絶緣協調에 繫要하다. 一般的으로 常規運轉下의 폴리에틸렌 케이블에 對한 衝擊電壓의 反復 印加에 依하면 初期破壞電

壓에 比하여 그 破壞電壓이 低下되며, 또 高電壓 運轉 下에 있는 大單位 工場等의 過負荷로 因하여 高電壓 케이블의 热劣化가 야기됨도 各處에서 報告되어 있다.

그러나 이의 케이블에 대한 雷 서어지 或은 開閉서어지 等에 依한 劣化現象에 對한 試驗은 아직도 報告된 文獻이 없어 本人은 同一 케이블에서 얻은 多數의 試料에 對하여 短絡 或은 過負荷電流를 흘려 케이블의 渾度를 上昇시키고 이렇게 热劣化된 케이블에 대하여 衝擊電壓을 反復 印加하여 實驗하고 絶緣破壞에 이르기까지의 衝擊電壓 印加回數의 分布狀態에 對하여 와이블(Weibull) 分布를 使用하여 統計的 解析을 하고 그壽命分布를 定量的으로 考察하였다.

*正會員：釜山工大教授(工博)

2. 實驗方法 및 結果

2.1. 試料 및 實驗裝置

表 1에 試料로서 使用된 케이블의 構造를 나타내었으며 本試料의 絶緣體는 高壓法에 依하여 製造된 低密度 폴리에틸렌을 絶緣體로 한 폴리에틸렌 絶緣 비닐쉬이스 電力케이블(商品名)이다.

本實驗에 使用된 衝擊電壓 發生裝置는 多段式, 直列充電方式이며 $1 \times 40\mu s$ 의 衝擊波를 發生한다. 그림 1은 本實驗에 使用된 實驗裝置 및 試驗케이블에 對한 設備概略圖이다. 그림에서 T, Tr은 試驗用 變壓器, K는 整流用 케네트론(Kenotron), N·G는 始動用 間隙, G는

表 1. 試新 케이블의 構造
Table 1. The Structure of cables

導體 短絡 mm ²	絕緣體 두께 mm	遮蔽帶 프 두께 mm	쉬이스 두께 mm	全外徑 mm	使用電 壓級 KV	備 考
8.0	4.0	0.1×2.0	1.965	18.0	6	絶緣體上半 導電性布帶 이프 및 軟 銅테이프 … 回卷

는 불꽃, 球間隙, C는 蓄電器, L은 波頭調整用 인터너스, B·O는 衝擊波, 波形觀測用 오실로그라프, I·E는 內部電極, O·E는 外部電極, P·C는 폴리에틸렌 케이블, C·S는 絶緣混合物 含有 놋싱이다.

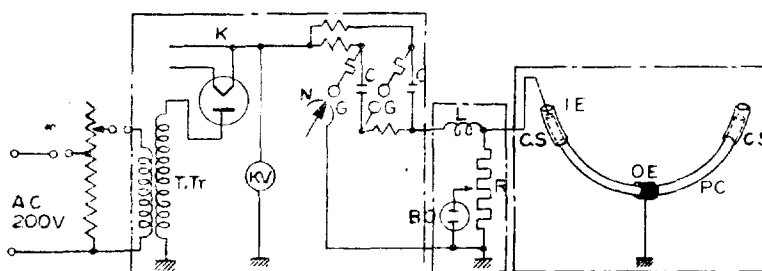


그림 1. 實驗設備概略圖

Fig. 1. Schematic diagram of the experimental Apparatus and tested cable

2.2. 實驗方法

試驗에 使用된 케이블에는 正極性 $1 \times 40\mu s$ 의 衝擊電壓을 絶緣破壞가 일어날 때까지 反復印加하여 險極性 오실로그라프에 나타난 破形에 依據하여 그 絶緣破壞를 確認하였다. 試料의 全長은 1m로서 衝擊電壓 印加有効長은 40cm이며 同心圓筒狀 電極이다. 또 試料의 兩端末을 10cm 까지 絶緣점파운더로서 圓筒形으로 成型加工하여 付着하고 沿面코로나 放電을 防止하였다. 電壓의 印加時間間隔^(1~8)은 15 ± 2 秒로 하고豫想破壞電壓求하기 위하여 段階昇壓法⁽¹²⁾을 使用할 경우는 電壓 印加時間 間隔은 10 ± 2 秒로 하였다. 電壓의 反復印加 때문에 絶緣體에 電荷가 蓄積된다고 생각되나, 實際로는 試料와 並列로 插入된 衝擊電壓 發生裝置의 放電抵抗(1200Ω)이 絶緣體의 抵抗(體積抵抗 $35 \times 10^4 \Omega \cdot cm$)에 比하여 아주 작기 때문에 無視했다. 폴리에틸렌 케이블의 絶緣體의 高分子의 物性的 變化를 均等하게 하기 위하여 각각 60m式 케이블을 切斷하여 각 케이블에 120A 130秒(試料群 1), 1200A 2秒(試料群 2), 320A 32秒(試料群 3)의 時間間隔에 依한 電流를 흘려 導體의 溫度를 각각 75°C, 115°C, 140°C로 上昇시키고 폴리에틸렌의 結晶構造의 變化를 考慮하여 徐徐히 自冷토록 措置하였다. 이것은 폴리에틸렌 絶緣體와의 사이의 空隙 形成을 考慮하여 140°C 溫度上昇 케

이블에 對하여는 케이블의 位置를 垂直 및 水平의 狀態로 놓아 電流를 흘리도록 하였다. 케이블의 溫度上昇值의 測定方法은 銅-콘스탄탄 热電對를 폴리에틸렌 케이블 末端 10cm 部位를 切除하여 導體에 固着시키고, 다시 元型대로 完全 復舊 處理하여, 溫度上昇值는 溫度, 自動記錄計로 記錄도록 하였다.

印加電壓 V(KV)와 絶緣破壞까지의 電壓 印加回數 n (回)에 對한 $V-n$ 特性을 求하기 위하여 各試料群마다 7~10本의 試料를 샘프링하여 各各의 衝擊破壞電壓 V 를 求하고 破壞強度, E 를 算出하였다. 이 경우 V 는 初期印加電壓을 200KV로 하고, 同一電壓을 3回式印加하여 絶緣破壞가 일어나지 않는 경우는 5KV式印加電壓을 上昇시키는 段階昇壓法⁽¹⁰⁾에 依하여 100%破壞電壓을 求하였고, 7~10本에서 求해진 衝擊電壓 V 를豫想破壞電壓으로 하고 또 V 의 破壞強度 E 의 平均值 E_B 를 基準으로 하여 E_B 以下의 破壞스트레스 E_L 를 定하였다. 各試料群에서 샘프링된 35~40本의 試料에 各各의 同一 E_L 別의 衝擊電壓으로서 破壞될 때까지의 電壓印加回數 n 의 頻度分布를 求하였다. 各 케이블의 印加된 電壓의 $E_L/E_B (\equiv S_L)$ 를 印加電壓의 스트레스 레벨이라 하고 모두 S_L 로서 表示한다.

2.3. 絶緣破壞까지의 電壓印加回數分布

그림 2는 各試料群에 對한 絶緣破壞까지의 電壓印加

回數 n 的 分布를 表示하는 히스토그램(Histogram)이다. 이것은 폴리에틸렌 케이블의 衝擊電壓에 依한壽命分布의 形態를 나타내는 것으로서 이壽命分布의 確率密度函數 $f(x)$ 로 나타내면

$$\int_0^{\infty} f(x) dx = 1 \quad (1)$$

로 된다. 따라서 n 回까지의 信賴度(破壞되지 않는 確率)를 $R(n)$ 로서 表示하고, 分布函數(n 回까지의 累積破壞確率)를 $F(n)$ 로서 表示하면

$$F(n) = \int_0^n f(x) dx \quad (2)$$

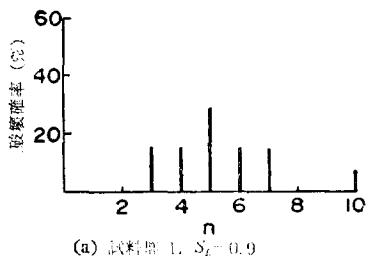
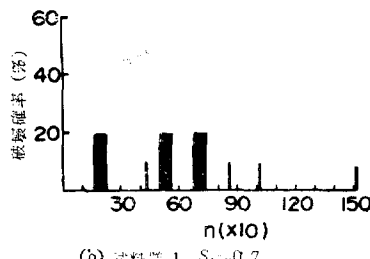
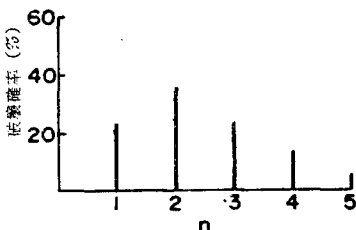
로 되고

$$R(n) = 1 - F(n) \quad (3)$$

의 관계가 成立한다. 또 여기에서 수명치의 分포를 特徵짓는 尺度로서 使用되는 平均壽命을 μ 라고 하면

$$\mu = \int_0^{\infty} x \cdot f(x) dx = - \int_0^{\infty} x \cdot d\{1 - F(x)\} \quad (4)$$

$$= \int_0^{\infty} \{1 - F(x)\} dx \text{ 또는 } \int_0^{\infty} R(x) dt \quad (5)$$

(a) 試料群 1, $S_L = 0.9$ (b) 試料群 1, $S_L = 0.7$ (c) 試料群 2, $S_L = 0.9$

로서 表示할 수 있다⁽¹³⁾.

그림 2의 히스토그램에 依하면 各試料群은 파괴스트레스 레벨에 따라 絶緣破壞의 回數分布狀態 및 수명분포에 있어서 어려한 共通的 特性을 나타내고 있으며同一 스트레스 레벨의 各試料群相互間에 있어서는 絶緣파괴의 수명분포에 顯著한 差異를 나타내고 있음을 알 수 있다. 즉 各試料群마다 衝擊電壓의 反復印加에 依한 絶緣破壞特性의 結果로의 各各의 初期破壞電壓에 가까운 高電壓에 있어서는 그破壞回數分布狀態가 類似하여 그分布가 比較的 좁은 回數幅에 걸쳐 있음을 알 수 있고, 初期破壞電壓보다 어느 程度 낮은 電壓에 있어서는 그破壞分布狀態가一般的으로 廣範圍한 回數分布로 散在한다. 特히 試料群 2의 115°C로 热處理된 케이블 및 試料群 3의 140°C로 热處理된 케이블은 그分布가 廣範圍回數로 散在됨이 極甚하다. 3種의 試料群 케이블을 比較 檢討하면 다음과 같다.

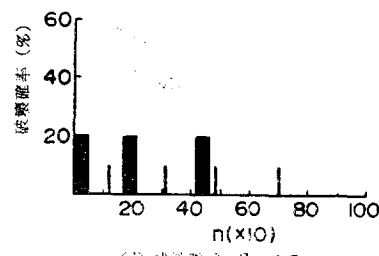
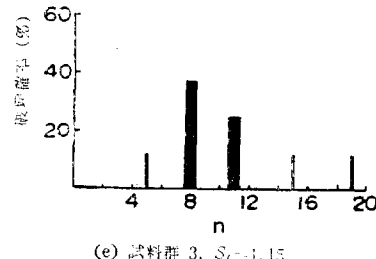
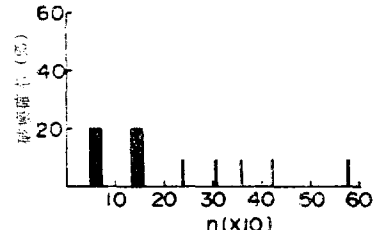
(d) 試料群 2, $S_L = 0.7$ (e) 試料群 3, $S_L = 1.15$ (f) 試料群 3, $S_L = 0.9$ 그림 2. 破壞까지의 電壓印加回數 n 的 히스토그램

Fig. 2. Histograms of the number of times of applied impulse voltage until cables disrupted.

i) 上位 스트레스 레벨 $S_L=0.9$ 에 대하여試料群 1은 $n \leq 10$ 회에서 全部破壊되었고, 또 $n \leq 6$ 에서 全部破壊回數의 75%를 占하며 試料群 2는 $n \leq 5$ 회에서 全部破壊되었고, $n < 2$ 에서 80% 以上이 破壊되었으며 試料群 3은 59회에서부터 600회에 이르기 까지의 그破壊回數分布幅이 極히 넓으며 $n < 450$ 에서 80%가 破壊되어 試料群 1이나 試料群 2와는 그破壊狀態가 判異하게 다르다. 即 試料群 3은 그破壊分布가 n 에 對하여 集中分布가 아니고 散在分布의 偶發的破壊임을 나타내고 있다.

ii) $S_L=0.9$ 에 있어서 試料群 1 및 試料群 2는 破壊의 피크(Peak)가 n 의 最小의 곳에 있지 않는데 比하여 試料群 3은 最小의 곳에 있다. 以上의 i) 및 ii)의 特性에 있어서 試料群 3은 그初期破壊電壓에 가까운 $S_L=1.1$ 의 破壊分布狀態가 試料群 1이나 試料群 2의 初期破壊電壓에 가까운 $S_L=0.9$ 의 破壊分布特性과 類似함을 그림 4(h)에서 알 수 있다.

iii) 下位 스트레스 레벨 $S_L=0.7$ 에 對하여 試料群 1은 $145 < n < 1510$ 에서 破壊되고 있고, 試料群 2는 $19 \leq n < 700$ 이며 試料群 3은 히스토그램에는 表示되어 있지 않으나 $n=2132$ 회에서도 不破壊이다. 이 경우에 있어서는 試料群 1이나 試料群 2나 破壊分布回數의 幅이 넓으며 히스토그램上에 있어서 그피크도 散在되어 있으며 試料群 1과 試料群 2도 그分布狀態가多少 다르다. 이와 같이 初期破壊電壓보다 어느程度 낮은 電壓에 있어서는 그破壊分布回數의 幅이 넓어지고 어떠한 規則에서 벗어난偶發의破壊機構임을 알 수 있다. 또 이 경우에 있어서 試料群 3은 그의 初期破壊電壓 ($S_L=1.15$)과 거리가 먼破壊스트레스인 $S_L=0.9$ 가 위의 特性에 類似함을 알 수 있고, 試料群 2 및 試料群 3이 試料群 1보다도 더욱 위의 特性이 顯著하다.

iv) 그림 4에서 알 수 있는 바와같이 同一한 스트레스 레벨에 있어서는 그絕緣耐力이 시료군 3이 가장 높고, 다음에 試料群 1이며 試料群 2가 가장 낮다.

3. 絶緣破壊 機構 및 理論的 考察

3.1 絶緣劣化破壊의 統計的 解析

最近 와이블(Weibull) 分布가 信賴性工學 分野의 대이타 解析에 廣範圍하게 使用되었던 對數正規分布나 감마(γ) 分布보다는壽命分布表示에 가장適合함이 이미 證明되었으며, 그림 4의 각 히스토그램의 케이블의破壊分布도壽命分布의 一種이므로 本論文에서는 와이블⁽¹⁾分布를 使用하였다.

一般的으로 衝擊電壞을 正常的 케이블에 反復印加하면 初期破壊電壓보다 그破壊電壓이 低下하는 現象이

일어남은 이미 周知의 事實^(1~3)로 되어 있으나, 이것은 電壓의 反復印加에서 基因되는 疲勞(或은 魔耗)가 일어났기 때문으로 생각할 수 있다. 이 경우 이러한破壊을 疲勞破壊 或은 魔耗的破壊라고 한다. 그러나 或은 疲勞에 依한 것이 아니고 電壓의 反復印加中에 單純히 偶發의으로 일어나는破壊도 생각할 수 있다. 이 경우 이 때의破壊發生率도 印加電壓回數의 增加와 함께 높아지게 될는지 알 수 없다.

또 케이블의 製造工程中에 있어서 或은 外部의 어떤作用에 依하여 不良케 되어 初期에 그破壊가 集中되는 경우를 생각할 수 있는 것이다. 이 判定은 一定電壓을 印加할 때의壽命分布로서 取扱해서 破壊까지의電壓의 反復印加回數의 分布를 와이블分布로서 解析함으로서 疲勞에 依한破壊인지 偶發의인지 或은 初期의破壊인지를 判定할 수 있다.

와이블分布는 一種의 指數的分布를 擴張한 것이다. 케이블의 絶緣破壊하기 까지의 衝擊電壓印加回數 n 의 分布를 n 을 確率變數로 하는 와이블 distribution로 생각해서 n 의 密度函數를 $f(n)$ 分布函數(累積破壊確率)를 $F(n)$ 瞬間破壊確率(電壓印加回數 n 까지破壊하지 않고 다음의 電壓單位印加回數에서破壊하는確率) $\lambda(n)$ 및 破壊까지의 電壓平均印加回數 即 平均壽命 μ 는 각各 다음과 같이 表示한다⁽¹¹⁾.

$$F(n)=1-e^{-\frac{n^m}{\alpha}} \quad (6)$$

$$f(n)=-\frac{dF(n)}{dn}=\frac{m}{\alpha}n^{m-1}e^{-\frac{n^m}{\alpha}} \quad (7)$$

$$\lambda(n)=\frac{f(n)}{1-F(n)}=\frac{m}{\alpha}n^{m-1} \quad (8)$$

$$\mu=\int_0^\infty nf(n)dn=\alpha^{\frac{1}{m}}\Gamma\left(1+\frac{1}{m}\right) \quad (9)$$

단, $n \geq 0$, $\alpha > 0$, $m > 0$

여기서 m, α 는 分布의 파라메타(parameter)로서 각各形狀파라메타, 尺度파라메타라 부르며 分布의 形을特徵지우는 것이다.

(6)式에서 $\frac{1}{1-F(n)}$ 을 2回對數를 取하면

$$\log_{10}\log_{10}\frac{1}{1-F(n)}=m\log_{10}n-\log_{10}\alpha \quad (10)$$

로 된다. 와이블 確率紙는 $\log_{10}\log_{10}\frac{1}{1-F(n)}$ 을 縱軸에 $\log_{10}n$ 을 橫軸에 取함으로써 (10)式은 直線이 되며 이直線의 傾斜에서 m 가 求해진다. 와이블 distribution의 特徵은 $\lambda(n)$ 과 m 의 값에 따라서 變한다는點이다. $m > 1$ 의 경우는 $\lambda(n)$ 은 n 가 증가하면 커지고 $m < 1$ 의 때에는 n 가 증가하면 감소하여 $m=1$ 에서는 n 에 무관계로 一定하게 된다. 따라서破壊分布의變化에 따라서 m 의 값도 變하게 되어 다음과 같이 된다. 이것은

一般的으로 魔耗型이라 부르며 $m=2\sim 3$ 에서 正規分布에 가깝게 되고 이것은 蓄積된 劣化에 依한 破壞인 것이다. 따라서 魔耗的破壞現象은 物質의 劣化現象이라는 觀點에서 보면 가장 自然的인 劣化破壞라고 생각할 수 있겠다. $m < 1$ 의 경우는 故障率減少型으로서 初期에 破壞가 集中하는 現象으로서 初期型이라고 한다. 이 初期型은 製造工程中の 不良에 依한 때가 많다. $m=1$ 의 경우는 그 破壞發生率이 印加電壓回數의 增加에 따라 單純히 增加하고 있음에 不過하여 故障率이

一定型으로 되고 平均的으로 보면 一定의 確率로서 破壞한다. 이것은 偶發型이라고 하여 指數分布와一致한다.

3.2 各 케이블의 와이블 프로트(Weibull plot)에 依한 考察

그림 3~그림 5는 각 케이블에 對한 n 對 $F(n)$ 의 와이블 프로트이며 各試料群의 分布파라메타는 表 2에 一括表示하였다. 그림 3~그림 5와 表 2에 依據 프로트의 特徵을 케이블마다 要約說明하면 다음과 같다.

表 2. 分布의 파라메타의 實測值
Table 2. Estimated values of parameters.

試料群 番號	印 加 電 壓			m		α		μ	
	電 壓 (KV)	S_L	極 性	m_1	m_2	α_1	α_2	μ_1	μ_2
1	250	0.95	+		3.73		87.44		2.99
1	230	0.9	+		3.52		380.39		5.04
1	205	0.8	+		2.1		223		132
1	180	0.7	+	1.08	2.35	1114	8830	(943)	602
2	230	0.9	+		2.04		7.78		2.39
2	205	0.8	+	1.6	0.93	24.8	20.2	15.9	(22.6)
2	180	0.7	+	0.59	1.18	148.8	540.8	899	283.8
3	230	1.1	+		2.7		560		9.7
3	205	0.9	+		1.1		413		290.5
3	180	0.8	+			1381回 및 2132回에 不破壞			

i) 試料群 1

그림 3-1에서 $S_L=0.95$, $S_L=0.9$ 및 $S_L=0.8$ 의 경우는 모두 $m>1$ 로서 魔耗型이다. 특히 $S_L=0.95$, $S_L=0.9$ 는 $m>3$ 의 값으로서 電壓印加回數의 微少範圍內에서 그 魔耗狀態가 急激함을 나타내고 있다. 即 絶緣耐力上으로 보아 $S_L=0.9$ 에 있어서 그 劣化가 急激히 일어남을 明示하고 있다. $S_L=0.8$ 에 있어서는 역시 마모형이기는 하나 $S_L=0.9$ 에 비하여는 魔耗의 劣化狀態가 상당히 완만하여 破壞確率도 低下되며 그 平均的 수명

도 크게 길어짐을 알 수 있다. 그림 3-2에 표시된 바와 같이 $S_L=0.7$ 에 있어서는 電壓印加回數가 적은 범위에 있어서는 $m>1$ 로 되어 $S_L=0.9$ 나 $S_L=0.8$ 과는 다른 모양을 하고 있다.

이와 같이 어느 電壓印加回數를 境界로 하여 破壞現象이 위와 같이 아래로 격인 두 直線으로 되어 變化하는 것을 混合型 와이블分布라고 한다⁽¹¹⁾. 그림 3-2에 표시한 $S_L=0.7$ 의 경우는 電壓印加回數 504回를 기준으로 하여 아래로 격인 두 直線으로 되어 있으며, $n <$

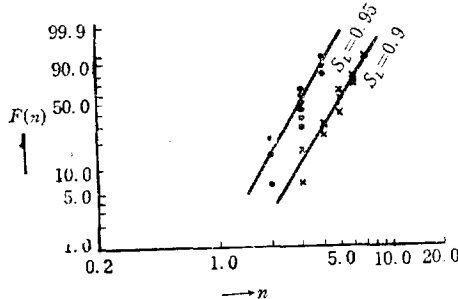


그림 3-1. n 對 $F(n)$ 의 와이블 프로트(試料群 1)
Fig. 3-1. Plot of the Data on weibull graph illustrating a relation between n and $F(n)$ (Lot No.1)

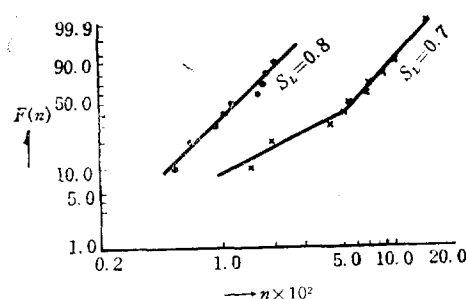


그림 3-2. n 對 $F(n)$ 의 와이블 프로트(試料群 1)
Fig. 3-2. Plot of the data on weibull graph illustrating a relation between n and $F(n)$ (Lot No.1)

504回에서는 $m=1$ 로 되어 偶發的인 絶緣破壞를 나타내고 있고, $n>504$ 회에서는 $m>1$ 로서 魔耗的破壞現象을 나타내어 偶發的인 破壞로부터 魔耗的破壞로變化한다. 따라서 本境過의 混合型 와이블分布의 破壞密度函數는 (1) 偶發的一定比率로 일어나는 破壞 (2) 魔耗的으로 일어나는 破壞로 나누어 생각할 수 있다. 또 $n>504$ 回以前의 破壞率은 거의 一定하여 魔耗的劣化는 電壓印加回數 504回以後부터 始作되는 셈이 되므로 $S_L=0.7$ 로서는 衝擊電壓의 印加가 504回까지는壽命에 影響된다고 볼 수 없다.

他의 報告⁽⁴⁾에 依하면 이미 偶發的으로 絶緣破壞된試料中에서 破壞個所를 切除하고健全한部位에 對하여 다시 絶緣破壞試驗을 行한結果 初期破壞電壓보다도 印加電壓이 約 20% 以下로 低下하면 破壞履歷을 받은 케이블은劣化가 蓄積되어 破壞된 것이 아니고單純한偶發的인 確率로서 破壞되었음이 確認되어 있다. 따라서 이러한 경우의 破壞壽命은 魔耗的破壞에 依하여 定해져야 할 것이다.

ii) 試料群 2

試料群 2는 試料群 1에 比하여 全體적으로 絶緣耐力이 낮음을 表 2 및 그림 4에서 보아 알 수 있다. $S_L=0.9$ 에 있어서는 $m=2.04$ 로서 魔耗的劣化로 나타났고 그 平均壽命도 $\mu=2$ 回로 되어 本實驗試料中最小值이다. 그림 4에 表示된 $S_L=0.8$ 은 電壓印加回數 n 가 적은範圍에 있어서는 $m>1$, n 가 큰範圍에 있어서는 $m=1$ 로 되어 위로 겹친 2本의 直線으로 되어 있다. 이와 같이 어느電壓印加回數를 境界로 하여 破壞現象이變化하는 것은 破壞原因이 어느電壓印加回數 以後의破壞試料에 對하여는 魔耗型으로 부터 偶發型으로變하였기 때문이며, 이것을複合型 와이블分布⁽¹¹⁾라고 한다. 이와 같은複合型 와이블分布를 나타내는 $S_L=0.8$ 의 경우를 解析하면 $n>14$ 에 있어서 $m_1=0.93$, $n<14$ 에서 $m_1=1.60$ 으로 14回의電壓印加回數를 基準으로 하여 破壞는 14回까지는回數의增加에 따라 破壞率이漸增하여劣化의蓄積의破壞가 일어나고, 14回以上에 있어서는完全히偶發的인破壞로서破壞率은恒常一定하다. $S_L=0.7$ 의 경우는 그림 4에 서로 알 수 있는 바와 같이電壓印加回數 $n=120$ 回를 基準으로 하여 아래로 겹친 두直線으로 되어 있다. $n<140$ 회에서는 $m<1$ 이고 $n>104$ 회에서는 $m=1$ 로 되어 $n=104$ 회를境界로 하여 初期的劣化로부터偶發的劣化로變化된混合型 와이블分布이다.

iii) 試料群 3

試料群 3은 폴리에틸렌 絶緣體自體에 어떠한 化學的變化 即 熱에 依한劣化가 가장甚하였음이豫想되는

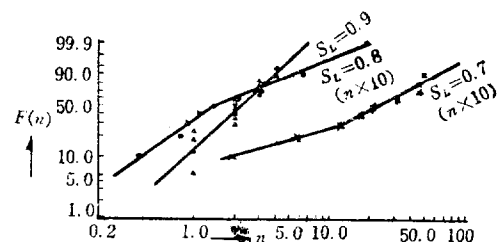


그림 4. n 對 $F(n)$ 의 와이블 프로트(試料群 2)

Fig. 4. Plot of the data on Weibull graph illustrating a relation between n and $F(n)$ (Lot No.2)

케이블이나 試料群 1이나 試料群 2에 比하여 絶緣耐力이 가장 높았음을 表 2 및 그림 5의 實驗結果에서 알 수 있다. $S_L=1.1$ 에 있어서는 $m=2.7$ 로서 그劣化가魔耗의이고 電壓의 平均印加回數가 $\mu=10$ 回로서 試料群 1 및 試料群 2의 스트레스레벨 $0.9 < S_L < 0.8$ 範圍에該當된다. 따라서 각 試料群에 對한同一印加電壓 230 KV로서比較하여도 試料群 3은 他試料群에 比하여 그 絶緣耐力이 높고同一 스트레스 레벨로서 比較하여도 큼을 알 수 있다. 또 스트레스 레벨 $S_L=0.9$ 에 對하여도 마찬가지이다.

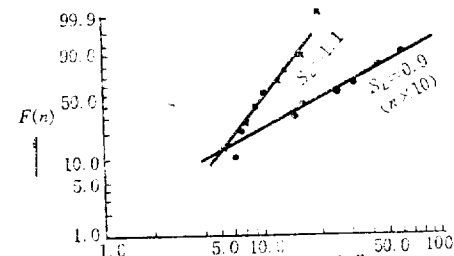


그림 5. n 對 $F(n)$ 의 와이블 프로트(試料群 3)

Fig. 5. Plot of the data on Weibull graph illustrating a relation between n and $F(n)$ (Lot. No.3)

스트레스 레벨 $S_L=0.9$ 은偶發的破壞이며試料群 3뿐만 아니라 모든試料群에 대하여共通되는 것으로서偶發的인破壞의경우는故障率이一定하므로電壓印加回數에는 큰關係없이極히無作為(random)하게破壞되며, 印加電壓이低下하면破壞確率도低下하므로破壞가無作為하게일어나드라도破壞까지의電壓의平均印加回數 μ 는增大되어 있다. 또 表 2에서 알 수 있는 바와 같이各試料群마다同一스트레스 레벨에對하여破壞까지의電壓印加回數에 있어서 많은差異가있으며,各試料群別初期破壞電壓值에 가까운範圍의破壞現象은大體적으로그劣化가魔耗의이고,初期破壞電壓에서低下될수록그劣化狀態가偶發或은初期型으로되고스트레스 레벨이0.8의경우는各試

料群에 있어서 그 破壞回數의 差異가 크다. $S_L=0.7$ 되면 그 破壞回數가 近接하여 $S_L=0.7$ 以下에 있어서는 磨耗的 破壞는 일어나지 않고 偶發 或은 初期型으로 되어 破壞 스트레스 레벨은 試料群別 케이블 特性에 實際上 無關係한 것으로 되는 것 같다.

4. 結論

75°C(試料群 1), 115°C(試料群 2), 및 140°C(試料群 3)로 케이블導體의 溫度上昇에 依하여 热處理된 폴리에틸렌 케이블에 대한 $1 \times 40\mu\text{s}$ 衝擊電壓波量 反復印加回數의 分布狀態를 와이블分布에 依하여 解析하므로써 그 疲勞破壞의壽命特性을 考察한 結果를 要約하면 다음과 같다.

(1) 各 試料群은 衝擊電壓의 反復印加에 依する 絶緣破壞特性으로서 初期破壞電壓에 가까운 高電壓領域에 있어서는 磨耗的 劣化破壞로 되고 初期破壞 電壓值에서 低下할수록 偶發 或은 初期型破壞로 쓰인다.

(2) 同一 스트레스 레벨에 있어서 絶緣破壞까지의 電壓印加回數는 試料群 3이 가장 크고, 다음이 試料群 1이며, 試料群 2가 가장 적다. 그러나 試料群 1의 初期破壞電壓에 가까운 高電壓을 試料群 3에 印加했을 경우는一般的으로 絶緣破壞되지 않으나, 경우에 따라서는 偶發的 破壞가 일어나는 경우도 있다.

本研究에 있어서 衝擊電壓에 依한 疲勞劣化에 對한 原因과 劣化進行에 미치는 事項에 對하여는 今後 明白히 할 생각이다.

參考文獻

- E.J. McMahon, J.R. Perkins: Surface and Volume Phenomena in Dielectric Breakdown of Polyethylene. IEEE Transactions Paper Vol. 63~180 1963. 2
- IEEE Committee Report: A New Standard for Impulse Testing Procedures for Insulated Conductors. IEE Transactions Paper Vol. 83. No.10 p.1053.

- 開井・依田: 衝擊電壓によるゴムプラスチックケーブルの 疲労破壊に関する 統計的 検討. 日本電氣學會雑誌, 1971.8. Vol. 91. No. 8. p.1496~1503
- 堀井・木下・高木・坂東: 架橋ポリエチレンケーブルの 衝擊電壓破壊特性 タツタ電線技報, Vol. 3, p.12. 1969. 10.
- Yoda Sekii: Deterioration by Treeing of Rubber and Plastic Insulated Cables Caused by Impulse Voltage. IEEE Transaction Paper 1971.7. ITP 38 PW-R 8p
- 柳内・井上: ゴムプラスチックケーブルの インバルス 疲労特性 ① 大日本電線時報 No.39. p.1~7, 1968. 7.
- 井上・田口: ゴムプラスチックケーブルのインバルス 疲労特性 ② 大日本電線時報 No.47, p.21~26, 1969. 11.
- 金古・藤・近藤・木村: ゴムプラスチック電力ケーブルの 線り返しサージ疲労特性. 藤倉電線技報 第44號 p.21~29.
- 青籠・矢作: ポリエチレン電氣傳導における溫度特性と 時間特性の相關. 日本電氣學會雑誌 Vol. 91. No.4 p.743~752, 1971. 4.
- Korean Industrial Standards: KSC 0901 高電壓試驗方法改正 1966. 7. 12.
- 眞壁: ワイブル確率紙の使い方. 信頼性のための統計的解析. 日本規格協會 1972. 11.
- 和田: 高分子の物性工學 オーム社 p.101~135, 1968. 6.
- 伊藤: 高分子加工工學, 丸善株式會社 p.117~130. 1968. 6.
- 岡・中田・深田・山本: 高分子の物理學, 地人書館 p.44~84, 1964. 11.
- Frank Mclark: Insulating Materials for Design and Engineering Practice John Wiley and Sons. Inc. p.466~506, 1962. 6.
- 太田・高橋・中山: ポリエチレン 日刊工業新聞社, p.38~49. p.192. 1961. 3.